

## ИССЛЕДОВАНИЕ ДОННЫХ ЛИНИЙ ПОТОКА ПРИ РАЗВОРОТЕ ПОТОКА

Рассмотрен разностно-характеристический способ интегрирования параболической системы квазилинейных дифференциальных уравнений импульсов пространственного пограничного слоя при течении в круговом секторе. Отмечено удовлетворительное совпадение результатов численной и экспериментальной визуализации донных линий тока.

Ключевые слова: пространственный пограничный слой, уравнения импульсов, дифференциальное соотношение, визуализация донных линий тока.

Значительный круг задач, рассматривающих течение рабочего тела в проточной части лопаточных машин, связан с необходимостью интегрирования уравнений пограничного слоя по сложной криволинейной поверхности с поперечным градиентом давления. Наиболее верные и продуктивные шаги в этом направлении были сделаны Г. Ю. Степановым [1] и С. Н. Шкарбулем [2], построившим свои гипотезы на анализе сил, действующих на элементарный объем жидкости при повороте. Однако отсутствие обоснования коэффициентов Ламе для рассмотренных ими каналов, а также то, что ядро потока принимается потенциальным (безвихревым), не дает возможности адаптировать уравнения для случая произвольного закона распределения скоростей и давлений в ядре потока. Для эффективного выбора метода решения и построения расчетного алгоритма необходимо привести систему уравнений импульсов пространственного пограничного слоя (ППС) к виду, определенному по переменным и позволяющему вести как численное, так и аналитическое интегрирование. Общий вид уравнений пространственного пограничного слоя [3] в естественной системе координат

$$\begin{aligned} & \frac{1}{H_\phi} \frac{\partial \delta_\phi^{**}}{\partial \phi} + \frac{1}{H_\phi U} \frac{\partial U}{\partial \phi} (2\delta_\phi^{**} + \delta_\phi^* - \delta) + \\ & + \frac{1}{H_\psi} \frac{\partial \delta_{\phi\psi}^{**}}{\partial \psi} + \frac{1}{H_\psi U} \frac{\partial U}{\partial \psi} \times \\ & \times (2\delta_{\phi\psi}^{**} - \delta_\psi) + \frac{1}{H_\phi H_\psi} \frac{\partial H_\phi}{\partial \psi} (2\delta_{\phi\psi}^{**} - \delta_\psi^*) = \\ & = \frac{1}{\rho H_\phi U^2} \frac{\partial p}{\partial \phi} \delta + \frac{\tau_{0\phi}}{\rho U^2}, \\ & \frac{1}{H_\psi} \frac{\partial \delta_\psi^{**}}{\partial \psi} + \frac{1}{H_\phi} \frac{\partial \delta_{\psi\phi}^{**}}{\partial \phi} + \frac{2\delta_{\psi\phi}^{**}}{H_\phi U} \frac{\partial U}{\partial \phi} + \\ & + \frac{2\delta_\psi^{**}}{H_\psi U} \frac{\partial U}{\partial \psi} + \frac{2\delta_{\psi\phi}^{**}}{H_\phi H_\psi} \frac{\partial H_\psi}{\partial \phi} + \\ & + \frac{1}{H_\phi H_\psi} \frac{\partial H_\phi}{\partial \psi} (\delta_\psi^{**} + \delta_\phi^{**} + \delta_\phi^* - \delta) = \\ & = \frac{-1}{\rho H_\psi U^2} \frac{\partial p}{\partial \psi} \delta - \frac{\tau_{0\psi}}{\rho U^2} \end{aligned} \quad (1)$$

не позволяет провести интегрирование, поскольку число неизвестных функций здесь превышает число уравнений.

Воспользуемся известным приемом и введем относительные существенно положительные величины (харак-

терные толщины ППС) [1], которые для практических расчетов в безотрывной зоне считаются постоянными величинами:

$$\begin{aligned} H &= \frac{\delta_\phi^*}{\delta_\phi^{**}}, \quad I = \frac{1}{\varepsilon} \frac{\delta_{\phi\psi}^{**}}{\delta_\phi^{**}}, \quad K = \frac{1}{\varepsilon} \frac{\delta_\psi^*}{\delta_\phi^{**}}, \\ L &= \frac{1}{\varepsilon^2} \frac{\delta_\psi^{**}}{\delta_\phi^{**}}, \quad M = \frac{1}{\varepsilon} \frac{\delta_{\psi\phi}^{**}}{\delta_\phi^{**}}, \quad N = \frac{\delta}{\delta_\phi^{**}}, \end{aligned}$$

где  $\delta_\phi^{**}$  – толщина потери импульса в направлении  $\phi$  (вдоль линии тока);  $\varepsilon = \operatorname{tg} \theta_0 = \frac{\tau_{0\psi}}{\tau_{0\phi}}$  – тангенс угла скоса донной линии тока;  $\delta_{\phi\psi}^{**}$ ,  $\delta_\psi^{**}$ ,  $\delta_{\psi\phi}^{**}$  – характерные толщины потерь импульсов;  $\delta_\phi^*$ ,  $\delta_\psi^*$  – толщины вытеснения в проекциях на оси естественной системы координат (продольной  $\phi$  и поперечной  $\psi$ );  $\delta_\phi$ ,  $\delta_\psi$  – толщины ППС в проекциях на оси естественной системы координат [3].

В естественной системе координат координатная линия  $\phi$  совпадает с проекцией предельной линии тока на стенке, а координатная линия  $\psi$  ортогональна  $\phi$ . Дифференциал дуги координатной линии равен дифференциалу по аргументу  $dS_i = H_i dq_i$ , следовательно в естественных координатах, привязанных к известным линиям тока, коэффициенты Ламе  $H_\phi = H_\psi = 1$ . В результате преобразований получаем систему из двух уравнений с двумя неизвестными:

$$\begin{aligned} & \frac{\partial \delta_\phi^{**}}{\partial \phi} + I \varepsilon \frac{\partial \delta_\phi^{**}}{\partial \psi} + I \delta_\phi^{**} \frac{\partial \varepsilon}{\partial \psi} = \\ & = \left[ \frac{N}{\rho U^2} \frac{\partial p}{\partial \phi} \delta_\phi^{**} - (2 + H - N) \frac{\delta_\phi^*}{U} \frac{\partial U}{\partial \phi} - \right. \\ & \left. - (2I - K) \frac{\varepsilon \delta_\phi^{**}}{U} \frac{\partial U}{\partial \psi} + T(U; \delta_\phi^{**}; \nu) \right], \quad (2) \\ & M \varepsilon \frac{\partial \delta_\phi^{**}}{\partial \phi} + L \varepsilon^2 \frac{\partial \delta_\phi^{**}}{\partial \psi} + \\ & + M \delta_\phi^{**} \frac{\partial \varepsilon}{\partial \phi} + 2L \delta_\phi^{**} \varepsilon \frac{\partial \varepsilon}{\partial \psi} = \\ & = - \left[ \frac{N}{\rho U^2} \frac{\partial p}{\partial \psi} \delta_\phi^{**} + \frac{2L \varepsilon^2 \delta_\phi^{**}}{U} \frac{\partial U}{\partial \psi} + \right. \\ & \left. + \frac{2M \varepsilon \delta_\phi^{**}}{U} \frac{\partial U}{\partial \phi} + \varepsilon T(U; \delta_\phi^{**}; \nu) \right], \end{aligned}$$

где принятый закон трения  $T(U; \delta_\phi^{**}; \nu) = \frac{\tau_{0\phi}}{\rho U^2}$ . Для турбулентного распределения скорости

$$\frac{u}{U} = \left(\frac{y}{\delta}\right)^{\frac{1}{7}}$$

закон трения записывается в виде [5]

$$T(U; \delta_{\phi}^{**}; \nu) = \frac{\tau_{o\phi}}{\rho U^2} = 0,01256 \left(\frac{U \delta_{\phi}^{**}}{\nu}\right)^{-0,25} \quad (3)$$

Система (2) принадлежит к виду квазилинейных дифференциальных уравнений в частных производных [4]. Дискриминант характеристического уравнения (2) имеет вид

$$D = 4L\varepsilon^2 (\delta_{\phi}^{**})^2 (L - MI),$$

следовательно эта система относится к эллиптическому, параболическому или гиперболическому типам, если величина  $L/(MI)$  меньше, равна или больше единицы соответственно. Для различных профилей скорости эта величина близка к единице [1].

В случае параболичности у системы уравнений импульсов (2) существует одно семейство характеристик

$$\lambda = \frac{d\psi}{d\phi} = I\varepsilon, \quad (4)$$

а дифференциальное соотношение на характеристике имеет вид

$$\begin{aligned} M \frac{d\varepsilon}{d\phi} = & -MN \frac{\varepsilon}{\rho U^2} \frac{\partial p}{\partial \phi} - \\ & - \frac{N}{\rho U^2} \frac{\partial p}{\partial \psi} - (N - H) \frac{M\varepsilon}{U} \frac{\partial U}{\partial \phi} - \\ & - \frac{KM\varepsilon^2}{U} \frac{\partial U}{\partial \psi} - (M + 1) \frac{\varepsilon}{\delta_{\phi}^{**}} T(U; \delta_{\phi}^{**}; \nu). \end{aligned} \quad (5)$$

Во многих случаях потенциального течения в ядре потока удобнее использовать несколько упрощенную запись уравнений импульсов (2) и дифференциального соотношения (5).

Во внешнем безвихревом потоке

$$-\frac{1}{\rho} \frac{\partial p}{\partial \phi} = \frac{U \partial U}{\partial \phi}, \quad -\frac{1}{\rho} \frac{\partial p}{\partial \psi} = \frac{U \partial U}{\partial \psi}.$$

Подставим эти выражения в (2) и (5) и получим уравнения импульсов ППС в случае потенциального ядра потока

$$\begin{aligned} & \frac{\partial \delta_{\phi}^{**}}{\partial \phi} + I\varepsilon \frac{\partial \delta_{\phi}^{**}}{\partial \psi} + I\delta_{\phi}^{**} \frac{\partial \varepsilon}{\partial \psi} = \\ & = \left[ \begin{aligned} & -(2 + H) \frac{\delta_{\phi}^{**}}{U} \frac{\partial U}{\partial \phi} - (2I - K) \times \\ & \times \frac{\varepsilon \delta_{\phi}^{**}}{U} \frac{\partial U}{\partial \psi} + T(U; \delta_{\phi}^{**}; \nu) \end{aligned} \right], \\ & M\varepsilon \frac{\partial \delta_{\phi}^{**}}{\partial \phi} + L\varepsilon^2 \frac{\partial \delta_{\phi}^{**}}{\partial \psi} + \\ & + M\delta_{\phi}^{**} \frac{\partial \varepsilon}{\partial \phi} + 2L\delta_{\phi}^{**} \varepsilon \frac{\partial \varepsilon}{\partial \psi} = \\ & = - \left[ \begin{aligned} & (2L\varepsilon^2 - N) \frac{\delta_{\phi}^{**}}{U} \frac{\partial U}{\partial \psi} + \\ & + \frac{2M\varepsilon \delta_{\phi}^{**}}{U} \frac{\partial U}{\partial \phi} + \varepsilon T(U; \delta_{\phi}^{**}; \nu) \end{aligned} \right] \end{aligned}$$

и дифференциальное соотношение

$$\begin{aligned} M \frac{d\varepsilon}{d\phi} = & \frac{MH\varepsilon}{U} \frac{\partial U}{\partial \phi} + (N - KM\varepsilon^2) \times \\ & \times \frac{1}{U} \frac{\partial U}{\partial \psi} - (M + 1) \frac{\varepsilon}{\delta_{\phi}^{**}} T(U; \delta_{\phi}^{**}; \nu), \end{aligned} \quad (7)$$

где  $\varepsilon$  – тангенс угла скоса донной линии тока,  $\varepsilon = \operatorname{tg} \theta_0$ .

Дифференциальное уравнение (7) выражает зависимость  $\varepsilon$  от  $\phi$  и  $\delta_{\phi}^{**}$  вдоль характеристик.

Для потенциального течения в круговом секторе сделаем некоторые допущения. Скорость потока вдоль линии тока не изменяется:

$$\frac{\partial U}{\partial \phi} = 0.$$

Распределение скорости по радиусу подчиняется закону свободного вихря  $UR = C$ , тогда

$$\frac{\partial U}{\partial \psi} = -\frac{\partial U}{\partial R} = -\frac{d}{dR} \left(\frac{C}{R}\right) = \frac{2C}{R^2}.$$

Для решения используем комбинированный метод, совмещающий метод конечных разностей и метод характеристик. Система уравнений записывается в конечных разностях с учетом принятых выше допущений и включает уравнение характеристик

$$\Delta\psi = I\varepsilon\Delta\phi = I\varepsilon R\Delta\alpha, \quad (8)$$

дифференциальное соотношение на характеристике

$$\begin{aligned} \Delta\varepsilon = & \left[ H \frac{\varepsilon}{U} \frac{\Delta U}{\Delta\phi} + (N - KM\varepsilon^2) \frac{1}{MU} \frac{\Delta U}{\Delta\psi} - \right. \\ & \left. - \frac{M + 1}{M} \frac{\varepsilon}{\delta_{\phi}^{**}} T(U; \delta_{\phi}^{**}; \nu) \right] \Delta\phi \end{aligned} \quad (9)$$

и уравнение импульсов

$$\begin{aligned} \Delta\delta_{\phi}^{**} = & \left[ (K - 2I) \frac{\varepsilon \delta_{\phi}^{**}}{U} \frac{\Delta U}{\Delta\psi} - (2 + H) \frac{\delta_{\phi}^{**}}{U} \frac{\Delta U}{\Delta\phi} + \right. \\ & \left. + T(U; \delta_{\phi}^{**}; \nu) - I\varepsilon \frac{\Delta\delta_{\phi}^{**}}{\Delta\psi} - I\delta_{\phi}^{**} \frac{\Delta\varepsilon}{\Delta\psi} \right] \Delta\phi. \end{aligned} \quad (10)$$

Численное интегрирование выполняется следующим образом (рис. 1).

В области решения  $ABCD$  определяются поля скоростей, линии тока и строятся естественные координаты  $\phi$  и  $\psi$ . На входе в область (кривая  $AB$ ) задаются значения  $\varepsilon_0$  и  $(\delta_{\phi}^{**})_0$ . По выражению (8) находятся точки пересечения характеристик, выходящих из узлов в плоскости  $\phi(0)$  с плоскостью  $\phi(1)$ :  $\Delta\psi_{00}, \Delta\psi_{01}, \Delta\psi_{02}, \dots$ . Отметим, что эти точки не совпадают с узлами на линии тока в плоскости  $\phi(1)$  (см. рис. 1).

По выражению (9) определяются приращения вдоль каждой характеристики:

$$\Delta\varepsilon_{00}, \Delta\varepsilon_{01}, \Delta\varepsilon_{02}, \dots$$

(6) Значения  $\varepsilon$  в плоскости  $\phi(1)$  находятся по выражениям

$$(\varepsilon_{10})' = \varepsilon_{00} + \Delta\varepsilon_{00}, \quad (\varepsilon_{11})' = \varepsilon_{01} + \Delta\varepsilon_{01},$$

$$(\varepsilon_{12})' = \varepsilon_{02} + \Delta\varepsilon_{02}, \dots$$

где обозначения для  $\varepsilon$  взяты со штрихом, поскольку точки пересечения характеристик с плоскостью  $\phi(1)$  не совпадают с узлами.

Затем делается допущение о гладкости функции  $\varepsilon(R)$  (или  $\varepsilon(\psi)$ ), после чего выполняется коррекция значений,

т. е. определяются значения  $\epsilon$  непосредственно в узлах:

$$\epsilon_{10} = \frac{(\epsilon_{10})' - (\epsilon_{11})'}{\Delta R - (\Delta\psi_{00})' + (\Delta\psi_{01})'} (\Delta\psi_{00})' + (\epsilon_{10})',$$

$$\epsilon_{11} = \frac{(\epsilon_{11})' - (\epsilon_{12})'}{\Delta R - (\Delta\psi_{01})' + (\Delta\psi_{02})'} (\Delta\psi_{01})' + (\epsilon_{11})', \dots$$

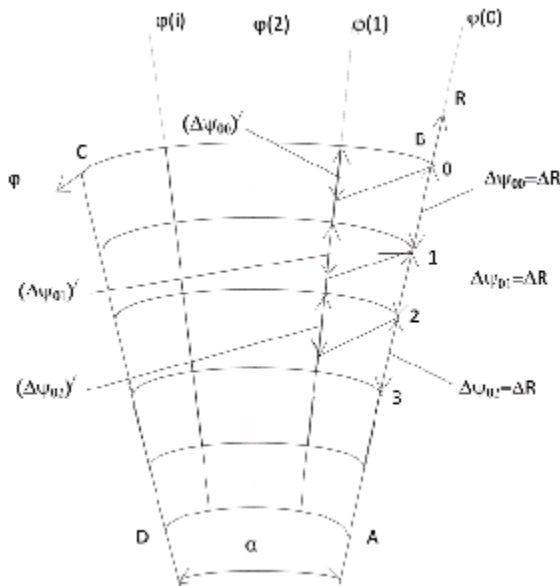


Рис. 1. Схема численного интегрирования

Приращение толщин потери импульса вдоль координатной линии  $\psi$  ( $\psi = \text{const}$ ) рассчитывается по выражению (10). Поскольку

$$\frac{\partial \delta_{\psi}^{**}}{\partial \psi} = - \frac{\partial \delta_{\psi}^{**}}{\partial R},$$

то разностные аналоги производной имеют вид

$$\left( \frac{\Delta \delta_{\psi}^{**}}{\Delta R} \right)_{00} = \frac{\delta_{\psi 00}^{**} - \delta_{\psi 01}^{**}}{\Delta R},$$

$$\left( \frac{\Delta \delta_{\psi}^{**}}{\Delta R} \right)_{01} = \frac{\delta_{\psi 01}^{**} - \delta_{\psi 02}^{**}}{\Delta R}, \dots$$

Таким же образом определяется и  $\Delta \epsilon / \Delta R$ .

При нулевых начальных условиях:  $(\delta_{\psi}^{**})_{0i} = 0$  – для старта решения при переходе  $\alpha_0 \rightarrow \alpha_1$  необходимо использовать выражения для толщины потери импульса на плоской пластине [5]:

$$(\delta_{\psi}^{**})_{10} = 0,036 \Delta \phi_{00} \left( \frac{\Delta \phi_{00} U_{00}}{\nu} \right)^{-0,2},$$

$$(\delta_{\psi}^{**})_{11} = 0,036 \Delta \phi_{01} \left( \frac{\Delta \phi_{01} U_{01}}{\nu} \right)^{-0,2}, \dots$$

Это допущение вполне справедливо, поскольку  $\epsilon_{00} = 0$ , а шаг интегрирования  $\Delta \alpha \rightarrow 0$ . Далее на переходе  $\alpha_1 \rightarrow \alpha_2$  используется выражение (10).

Результаты расчета представлены ниже (рис. 2...4).

Анализ полученных результатов показывает, что толщина потери импульса расслаивается в зависимости от радиуса линии тока. Тангенс угла скоса донной линии тока не зависит от радиуса и достигает величины насыщения  $\epsilon = 1,511$ .

Справедливость принятых допущений подтверждается совпадением теоретических расчетов (рис. 4) с данными эксперимента по визуализации донных линий тока (рис. 5).

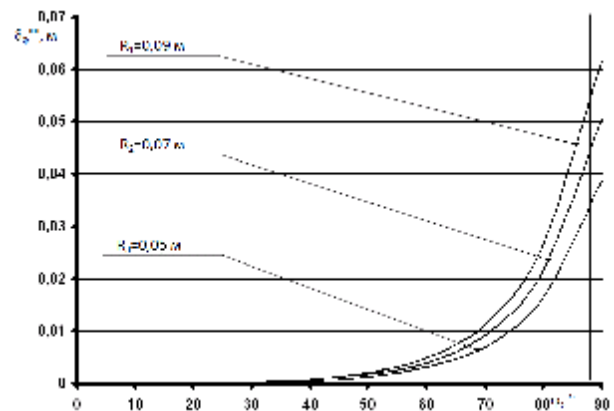


Рис. 2. Зависимость толщины потери импульса от угла поворота потока на круговом секторе с углом поворота потока  $90^\circ$  при скорости потока 25 м/с

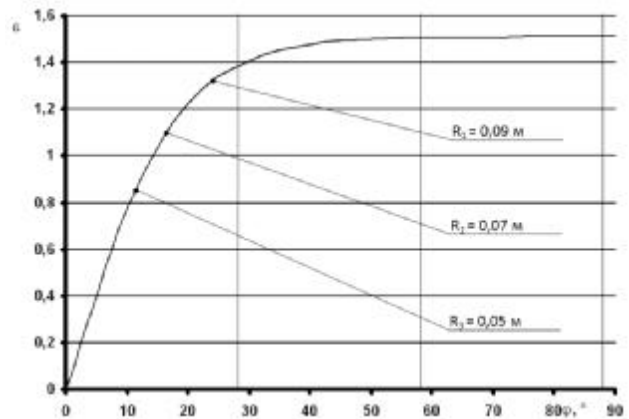


Рис. 3. Зависимость угла скоса донной линии тока от угла поворота потока (условия те же, что и на рис. 2)

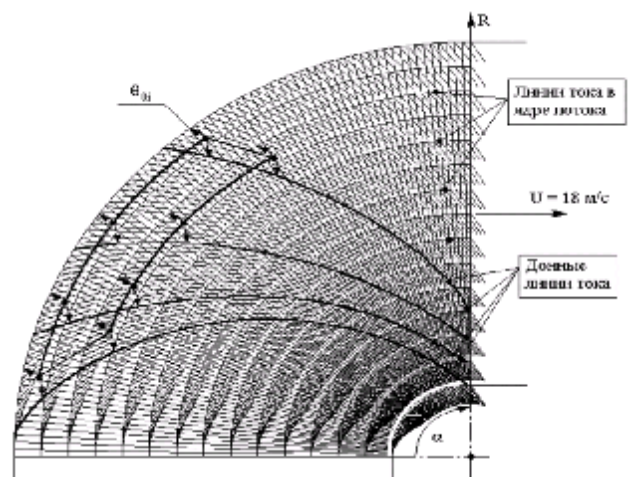


Рис. 4. Результаты теоретических исследований данных линий тока

На основании вышеизложенного можно сделать следующие выводы:

– получена форма записи уравнения импульсов и дифференциального соотношения на характеристике,

позволяющая вести интегрирование совмещенным разностно-характеристическим методом в естественной системе координат с произвольных начальных координат при течении в круговом секторе;

– расчетная и экспериментальная визуализация донных линий тока показывает, что угол скоса этой линии изменяется от нуля в прямолинейном потоке до предельного значения насыщения при повороте потока на криволинейном участке.

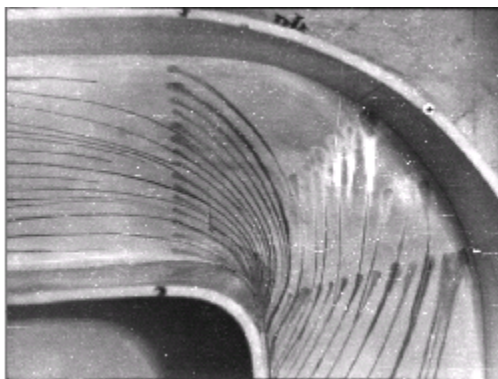


Рис. 5. Экспериментальная визуализация донных линий тока при течении в прямоугольном колене (скорость потока 18 м/с)

A. A. Kishkin, E. V. Chernenko, A. A. Zuev, V. S. Goroshko

## BOTTOM FLOW LINES RESEARCH AT FLOW TURNING

*A difference-characteristic integration method of parabolic quasi-linear differential equation system of impulses of three-dimensional boundary layer at flow on the circular sector is analyzed. A satisfactory fit of results of the computational and the experimental visualization of bottom flow lines is registered.*

*Keywords: three-dimensional boundary layer, equations of impulses, differential relation, visualization of bottom flow lines.*

© Кишкин А. А., Черненко Е. В., Зувев А. А., Горошко В. С., 2009

УДК 681.332.53/519.676

Е. И. Алгазин, А. П. Ковалевский, В. Б. Малинкин

## ПЕРЕДАЧА СИГНАЛОВ ИНВАРИАНТНЫМ МЕТОДОМ С ПОСЛЕДУЮЩЕЙ НЕЛИНЕЙНОЙ ОБРАБОТКОЙ

*Синтезирована инвариантная система обработки информации на основе квадратичной нелинейной обработки. При расчете параметров такой системы принято допущение, что отсчеты поднесущей зашумлены аддитивной помехой и некоррелированы между собой. Проведено сравнение количественных оценок работы данной системы с количественными показателями классической системы с амплитудной модуляцией и характеристиками инвариантной системы на основе расширенного синхронного детектирования.*

*Ключевые слова: помехоустойчивость, инвариант, вероятность попарного перехода, отношение сигнал/шум.*

В работах [1–5] исследовались инвариантные системы передачи информации, которые имеют различные вероятности попарного перехода. Такие системы

## Библиографический список

1. Степанов, Г. Ю. Гидродинамика решеток турбомашин / Г. Ю. Степанов. М. : Физматгиз, 1962.
2. Шкарбуль, С. Н. Анализ пространственного пограничного слоя в центробежном колесе турбомашин / С. Н. Шкарбуль, В. С. Вольчук // Энергомашиностроение. 1977. № 1.
3. Кишкин, А. А. Уравнения импульсов трехмерного пограничного слоя / А. А. Кишкин, Д. В. Черненко, Е. В. Черненко // Изв. вузов. Сев.-Кавк. регион. Серия «Технические науки». Новочеркасск, 2007. № 4.
4. Камке, Э. Справочник по дифференциальным уравнениям в частных производных первого порядка / Э. Камке. М. : Наука, 1966.
5. Шлихтинг, Г. Теория пограничного слоя / Г. Шлихтинг. М. : Наука, 1969.

имеют существенно лучшие характеристики по сравнению с классическими системами амплитудной модуляции при комплексном воздействии помех. Выиг-